

1. Screw Theorie

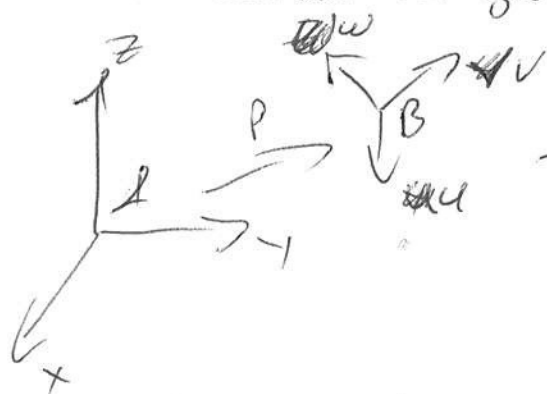
Def: Ein fester Körper ist eine Menge von Punkten, deren relative Lage sich nicht ändert.

Die Menge $SE(3)$ die die Lage eines festen Körpers beschreibt, ist offenbar eine gekrümmte Mannigfaltigkeit.

- $\forall g, h \in SE(3) : g \circ h, h \circ g \in SE(3)$
- assoziativ $(g \circ h) \circ e = g \circ (h \circ e)$
- nicht kommutativ : $g \circ h \neq h \circ g$
- Identität : $e : g \circ e = e \circ g = g \quad \forall g$
- inverse : $\forall g \exists h : g \circ h = h \circ g = e$

Distanzmaße auf $SE(3)$: gibt es nicht!

- zwei Bestandteile : Rotation / Translation
- man muss bestimmen gewichtung beider Komponenten festlegen



$$T_{AB} = \begin{pmatrix} x_u & x_v & x_w & p_x \\ y_u & y_v & y_w & p_y \\ z_u & z_v & z_w & p_z \\ 0 & 0 & 0 & 1 \end{pmatrix}$$

$$= \begin{pmatrix} R_{AB} & p_{AB} \\ 0 & 1 \end{pmatrix} \quad \bar{q} = \begin{pmatrix} \vec{q} \\ 1 \end{pmatrix}$$

interpretiere auf zwei Arten:

a) $\bar{q}_a = T_{ab} \bar{q}_b, \vec{q}_a = R_{ab} \vec{q}_b + p_{ab}$

Transformation von Koordinaten eines Punktes a

b) Tab kann als Bewegung aufgefasst werden Tab: $A \rightarrow A$

$$\bar{q}'_a = \text{Tab } q_a$$

1.2 Repräsentation von Rotationen

Def: Die Menge $SO(3) = \{R \in \mathbb{R}^{3 \times 3} \mid R R^T = \mathbb{1} \text{ und } \det R = 1\}$ heißt spezielle orthogonale Gruppe.

= Menge der Rotationsmatrizen, die die Händigkeit von \mathbb{R}^3 erhalten (keine Spiegelung)

1.2.2 Euler ZYZ-Winkel

Jede Rotation kann durch 3 aufeinander folgende Rotationen um 3 verschiedene Achsen erreicht werden.

1. Rotation um Z-Achse mit Winkel α :

$$R_{Z,\alpha} = \begin{pmatrix} \cos \alpha & -\sin \alpha & 0 \\ \sin \alpha & \cos \alpha & 0 \\ 0 & 0 & 1 \end{pmatrix}$$

2. Rotation um Y-Achse (neue) mit Winkel β : $R_{Y,\beta}$

3. Rotation um Z-Achse (neue) mit Winkel γ : $R_{Z,\gamma}$

$$R_{ab} = R_{Z,\alpha} \cdot R_{Y,\beta} \cdot R_{Z,\gamma}$$

$(\alpha, \beta, \gamma) \mapsto R \in SO(3)$ surjektiv

Singularität: $R = \mathbb{1}$ $\beta = 0$ $\alpha = \gamma$

1.2.3 Euler ZYX-Winkel (roll-pitch-yaw)

1. $R_{x,\psi}$ (yaw)
2. $R_{y,\theta}$ (pitch)
3. $R_{z,\phi}$ (roll)

Es wird um die alten Achsen gedreht (Weit-Ks) gedreht.

$$R_{ab} = R_{z,\phi} \cdot R_{y,\theta} \cdot R_{x,\psi}$$

Abbildung ist surjektiv, Singularität: $\Theta = \pm \frac{\pi}{2}$

1.2.4 Achsen-Winkel-Darstellung (axis-angle)

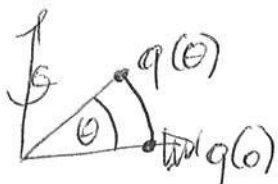
Satz (Euler): Jede Rotationsmatrix ist äquivalent zu einer Rotation um eine feste Achse $\vec{w} \in \mathbb{R}^3$ und einem Drehwinkel $\Theta \in [0, 2\pi)$

Bei $R=1$ gibt es wieder eine Singularität, da eine Drehung mit Winkel 0 mit jeder Drehachse identisch ist. Diese Singularität kann man verhindern, indem man $\vec{w} \cdot \Theta$ betrachtet und den Drehwinkel mit der Norm $\|\vec{w}\|$ identifiziert.

1.2.5 Exponentielle Koordinaten

Wir betrachten eine Rotation um Achse \vec{w} mit Winkel Θ

$$\begin{aligned} \dot{q}(t) &= \vec{w} \times \vec{q}(t) = \vec{w} q(t) \\ q(\Theta) &= \int_0^\Theta \vec{w} q(t) dt = e^{\vec{w}\Theta} \cdot q(0) \end{aligned}$$



$$e^{\vec{w}\Theta} = \mathbb{1} + \vec{w} \sin(\Theta) + \vec{w}^2 (1 - \cos(\Theta))$$

Autonomes Geveifen

14.10.11

Notation: $\vec{a} \times \vec{b} = \vec{a} \cdot \vec{b}$ mit $\vec{a} = \begin{pmatrix} 0 & -a_3 & a_2 \\ a_3 & 0 & -a_1 \\ -a_2 & a_1 & 0 \end{pmatrix}$, $\vec{a} = -\vec{a}^T$

Es gelten Identitäten:

$$\vec{w} \cdot \vec{w} = w \cdot w = 0$$

$$\vec{w}^2 = \vec{w} \cdot \vec{w}^T = \|\vec{w}\|^2 \cdot \mathbb{1}$$

$e^{\vec{w}\theta}$ ist die Exponentialfunktion einer Matrix:

$$e^{\vec{w}\theta} = \sum_{k=0}^{\infty} (\vec{w}\theta)^k \cdot \frac{1}{k!} = \mathbb{1} + \vec{w} \sin(\theta) + \vec{w}^2 (1 - \cos(\theta))$$

Definition: Die Menge der anti-symmetrischen Matrizen nennen wir $so(3) = \{S \in \mathbb{R}^{3 \times 3} \mid S^T = -S\}$

$$so(3) \xrightleftharpoons[\log]{\exp} SO(3)$$

$$1 \in \mathbb{R}^{3 \times 3}$$

$$\omega \in \mathfrak{so}(3) \xrightarrow{\exp} e^{\omega} = R \in \text{SO}(3) \cong \mathbb{R}^{3 \times 3}$$

$$\omega = -\omega^T$$

$$R^T R = \mathbb{1}, \det R = 1$$

$$\omega \iff \vec{\omega} \in \mathbb{R}^3, \theta = \|\vec{\omega}\|$$

1.2.6 Quaternionen

Eine Rotation $R(\vec{\omega}, \theta) = e^{\vec{\omega}\theta}$ wird durch das Quaternion

$$Q = (\cos(\frac{1}{2}\theta), \vec{\omega} \sin(\frac{1}{2}\theta)) = (q_0, \vec{q}) \in \mathbb{R}^4$$

$$\|Q\|^2 = q_0^2 + \|\vec{q}\|^2 = \cos^2(\cdot) + \sin^2(\cdot) \cdot \underbrace{\|\vec{\omega}\|^2}_{1} = 1$$

\Rightarrow Quaternionen, die Rotationen repräsentieren, haben Länge $\|Q\|^2 = 1$

$$Q = (q_0, \vec{q}) = q_0 + q_1 \hat{i} + q_2 \hat{j} + q_3 \hat{k} \quad q_i \in \mathbb{R}$$

$$\hat{i}^2 = \hat{j}^2 = \hat{k}^2 = -1, \quad \hat{i}\hat{j} = \hat{j}\hat{i} = \hat{k}, \quad \hat{j}\hat{k} = -\hat{k}\hat{j} = \hat{i}, \quad \hat{k}\hat{i} = -\hat{i}\hat{k} = \hat{j}$$

$Q^* = (q_0, -\vec{q})$ - konjugiertes Quaternion

$$\|Q\|^2 = Q \cdot Q^* = Q^* \cdot Q = \sum_i q_i^2$$

$$\|Q\|^{-1} = \frac{Q^*}{\|Q\|^2}$$

$$Q \cdot P = (q_0, \vec{q})(p_0, \vec{p}) = (q_0 p_0 - \vec{q} \cdot \vec{p}, q_0 \vec{p} + p_0 \vec{q} + \vec{q} \times \vec{p})$$

$$Q \cdot (0, \vec{p}) \cdot Q^* = (0, \underbrace{R(\vec{q}, q_0)}_{R(\vec{\omega}, \theta)} \vec{p})$$

$$R_{ab} \cdot R_{bc} = R_{ac}$$

$$Q_{ab} \cdot Q_{bc} = Q_{ac}$$

$$\mathbb{R}^0 \rightarrow \mathbb{R}^1 \quad \mathbb{R}^0 \cdot \mathbb{R}^1 = \mathbb{R}^1 \quad R = R_0^{-1} \cdot R_1$$

$$S(\text{exp}(a_0, a_1, t)) = a_0 \cdot (a_0^{-1} a_1)^t$$

1.3 Twist-Koordinaten homogener Transformationen

Def: Die Menge $SE(3) = \left\{ \begin{pmatrix} R & \vec{p} \\ 0 & 1 \end{pmatrix} \mid \vec{p} \in \mathbb{R}^3, R \in SO(3) \right\}$

heißt spezielle euklidische Gruppe. Sie beschreibt die Menge aller Posen eines Körpers.

Def: Ein Element ξ der Menge $se(3) = \left\{ \begin{bmatrix} \vec{w} & \vec{v} \\ 0 & 0 \end{bmatrix} \mid \vec{v} \in \mathbb{R}^3, \vec{w} \in so(3) \right\}$

heißt Twist. Die Paarstellung von ξ heißt 6-dimensionaler Vektor $\xi = (\vec{v}, \vec{w})$ nennen wir Twist-Koordinaten.

Die Menge der Twists beschreibt die Menge der Geschwindigk. von Körpern.

Satz: Für jeden $\xi \in se(3)$ liefert e^{ξ} eine homogene Transformation aus $SE(3)$. $\xi \in se(3) \xrightarrow{\text{exp}} TM = e^{\xi} \in SE(3)$

Satz: Für jeden $T \in SE(3)$ existiert ein Twist $\xi \in se(3)$, so dass $e^{\xi} = T$ gilt.

$$T_{ab}(\alpha) = \underline{T_R(\alpha)} \cdot T_{ab}(0)$$

$$T_R(\alpha) = T_{ab}(\alpha) \cdot T_{ab}(0)^{-1}$$

$$T_{ab}(0) = \begin{pmatrix} 1 & 0 \\ 0 & 1 \end{pmatrix}, \quad T_{ab}(0)^{-1} = \begin{pmatrix} 1 & 0 \\ 0 & 1 \end{pmatrix} \quad -R_{p0} = \begin{pmatrix} \sin \alpha (e_1 + e_2) \\ -\cos \alpha (e_1 + e_2) \\ 0 \end{pmatrix}$$

$$\begin{pmatrix} R & p(\alpha) \\ 0 & 1 \end{pmatrix} \cdot \begin{pmatrix} 1 & -p(0) \\ 0 & 1 \end{pmatrix} = \begin{pmatrix} R & -R \cdot p_0 + p(\alpha) \\ 0 & 1 \end{pmatrix}$$

$$-R p_0 + p(\alpha) = \begin{pmatrix} -e_1 \sin \alpha + 2e_2 \sin \alpha \\ e_1 + e_1 \cos \alpha + 2e_2 \cos \alpha \\ 0 \end{pmatrix} = \begin{pmatrix} e_1 \sin \alpha \\ e_1 - e_1 \cos \alpha \\ 0 \end{pmatrix} = p'$$

$$\vec{w} = (0, 0, 1), \quad \theta = \alpha$$

$$M_{0 \rightarrow p'}^{-1} = \begin{pmatrix} \frac{e_1 \sin^2 \alpha}{2(1 + \cos \alpha)} + \frac{1}{2} e_1 - \frac{1}{2} e_1 \cos \alpha \\ -\frac{1}{2} e_1 \sin \alpha + \frac{\sin \alpha}{2(1 - \cos \alpha)} (e_1 - e_1 \cos \alpha) \\ 0 \end{pmatrix} =$$

$$T_{ab}(\theta) = e^{\hat{\xi} \theta} \quad \hat{\xi} \in \mathfrak{se}(3) \quad \hat{\xi} = \begin{pmatrix} \vec{w} & \vec{v} \\ 0 & 0 \end{pmatrix}$$

$$T_{ab}(\theta) = T_R(\theta) \cdot T_{ab}(0)$$

$$T_R(\theta) = e^{\hat{\xi}_R \theta} \quad \hat{\xi}_R = (\vec{v}, \vec{w}) = (e_1, 0, 0, 0, 0, 1)^T \\ = (-\vec{w} \times \vec{p}, \vec{w})$$

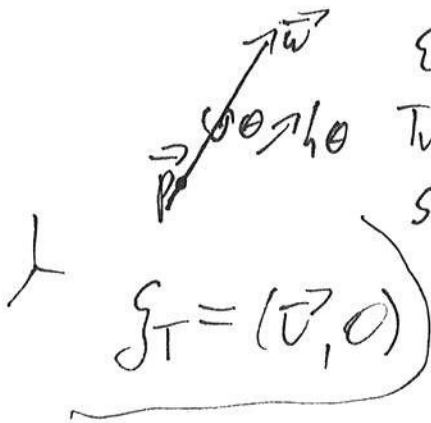
\vec{w} - Drehachse
 \vec{p} - Punkt auf Drehachse

$$\vec{p} = (0, e_1, 0)^T$$

Chasles' Theorem:

Jede Bewegung $T \in SE(3)$ ist äquivalent zu einer Schraubenbewegung (screw motion), d.h. es gibt eine Achse im Raum, an Hand derer sowohl die Rotation als auch die Translation der Bewegung stattfindet.

1. d Schew-Koordinaten



Entlang der Achse \vec{w} kommutieren Rotation und Translation. Für die Gesamtbewegung gilt:

$$S(\theta) = e^{\hat{\xi}_R \theta} \cdot e^{\hat{\xi}_T \theta} = e^{\hat{\xi} \theta} \cdot e^{\hat{\xi}_R \theta} \quad \hat{\xi} = (\hat{\xi}_T + \hat{\xi}_R) \theta \\ = \begin{pmatrix} R_{\vec{w}}(\theta) & -R_{\vec{w}}(\theta)\vec{p} + \vec{p} + h\theta\vec{w} \\ 0 & 1 \end{pmatrix}$$

In Twist Koordinaten: $\{s\} = \{R\} + \{T\} = (-\omega \times p + h\omega, \vec{w})$

Def: Ein screw besteht aus:

- eine Achse $e = \{ \vec{p} + \lambda \vec{w} \mid \lambda \in \mathbb{R} \}$ 4 Param:
- Steigung $h \begin{cases} \infty & \text{: reine Translation} \\ 0 & \text{: reine Rotation} \end{cases}$ 1 Param
- der Betrag $\mu = \theta$ der Bewegung

Twist \rightarrow Screw-Koordinaten? äq. $\{ -(\vec{v}, \vec{w}) \}$

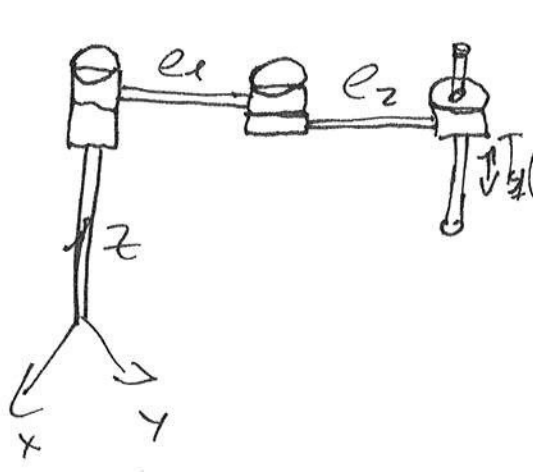
	$\vec{w} \neq 0$	$\vec{w} = 0$ (reine Translationen)
Achse e	$\{ \vec{w} \times \vec{v} + \lambda \vec{w} \}$	$\{ 0 + \lambda \vec{v} \}$
Steigung h	$\frac{\omega^T \vec{v}}{\ \vec{w}\ ^2}$	∞
Betrag μ	$\ \vec{w}\ $	$\ \theta \vec{v}\ $

1.5 Vorwärtzkinematik

- Manipulator mit k Gelenken (rot., linear)
- Endeffektor Transformation $T_{st}(\theta_1, \dots, \theta_k)$
- S-Basis-KS
- T-Tool-KS

1. DH-Ansatz: $T_{st}(\vec{\theta}) = T_{s1}(\theta_1) \cdot T_{r2}(\theta_2) \cdot \dots \cdot T_{k-1k}(\theta_k) \cdot T_{kt}$

2. Angabe von Twists, die die Gelenkbewegungen erzeugen.



$$T_{st}(\theta_k) = T(\theta_k) \cdot T_{st}(\theta_k=0)$$

$$T_{st}(\theta_{k-1}, \theta_k) = T(\theta_{k-1}) \cdot T_{st}(\theta_{k-1}=0, \theta_k)$$

$$T_{st}(\theta_1, \dots, \theta_k) = \underbrace{e^{\sum_1^1 \theta_1}}_{T(\theta_1)} \cdot \underbrace{e^{\sum_2^2 \theta_2}}_{T(\theta_2)} \cdot \dots \cdot \underbrace{e^{\sum_k^k \theta_k}}_{T(\theta_k)} \cdot T_{st}(0)$$

\uparrow
 $T_{st}(\theta_1)$

Die Twists \sum_i Längen lediglich von der Wahl des Basis-KS. S sind der Referenz-stellung / Nullstellung des Roboters ab.

$$w_1 = (0, 0, 1)^T \quad p_1 = (0, 0, 0)^T \quad p_2 = (0, l_1, 0)^T \quad p_3 = (0, l_1 + l_2, 0)^T$$

$$T_{st}(0) = \begin{pmatrix} 1 & 0 \\ 0 & e^{l_1} e^{l_2} \\ & e_0 \\ & 1 \end{pmatrix}$$

1.6 Geschwindigkeiten

$$\dot{q}_a = \vec{\omega} \times \vec{q}_a = \vec{\omega} \cdot \vec{q}_a$$

$$R_{ab}(t) = e^{\vec{\omega} \cdot t}$$

$$q_a(t) = R_{ab}(t) \cdot \vec{q}_b = 0$$

$$\dot{q}_a(t) = \dot{R}_{ab}(t) \cdot \vec{q}_b + R_{ab}(t) \cdot \dot{\vec{q}}_b$$

$$= \dot{R}_{ab} \cdot R_{ab}^{-1} \cdot R_{ab} \cdot \vec{q}_b$$

$$= \dot{R}_{ab} \cdot R_{ab}^{-1} \cdot q_a(t)$$

$$\Rightarrow \vec{\omega} = \dot{R}_{ab} \cdot R_{ab}^{-1}$$

Def.: Wir definieren: $\vec{\omega}_{ab}^a = \dot{R}_{ab} \cdot R_{ab}^{-1}$ und $\vec{\omega}_{ab}^b = R_{ab}^{-1} \cdot \dot{R}_{ab}$

$\vec{\omega}_{ab}^a$ - Rotationsgeschw. zwischen KS A und B, bezgl. des ortsfesten KS A

$\vec{\omega}_{ab}^b$ - Rotationsgeschw. zwischen KS A und B, bezgl. des bewegten KS B



$${}^1a \dot{w}_{ab} := \dot{R}_{ab} R_{ab}^{-1}, \quad {}^1b \dot{w}_{ab} := R_{ab}^{-1} \cdot \dot{R}_{ab}$$

$$\dot{q}_a = \dot{R}_{ab} \cdot q_b$$

$$R_{ab}^{-1} \cdot \dot{q}_a = \dot{q}_b = \underbrace{R_{ab}^{-1} \cdot \dot{R}_{ab}}_{{}^1b \dot{w}_{ab}} \cdot q_b$$

Lemma: $\forall w \in \mathbb{R}^3, \forall R \in SO(3)$ gilt:

$$\vec{w}' = R w \Leftrightarrow \vec{w}' = R \cdot \vec{w} \cdot R^{-1}$$

$$\vec{w}' = \widehat{R w} \quad \vec{p} \in \mathbb{R}^3 \text{ (Beweis)}$$

$$\vec{w}' \vec{p} = R w R^{-1} \vec{p}$$

$$R w \vec{p} = (R w) \times \vec{p} = (R w) \times (R R^{-1} \vec{p})$$

$$= R \cdot (\vec{w} \times R^{-1} \vec{p}) = R \cdot \vec{w} R^{-1} \vec{p}$$

$(R a) \times (R b) = R(a \times b)$
gilt nur da $R \in SO(3)$
 \Rightarrow Rotation

$${}^0 \dot{w}_{ab} = \dot{R}_{ab} R_{ab}^{-1} \Rightarrow {}^1b \dot{w}_{ab} = R_{ab}^{-1} \cdot \dot{R}_{ab} R_{ab}^{-1} \cdot R_{ab}$$

$$T_{ab} = \begin{pmatrix} R_{ab} & p_{ab} \\ 0 & 1 \end{pmatrix} \in SE(3)$$

$${}^1a \dot{V}_{ab} := \dot{T}_{ab} \cdot T_{ab}^{-1} = \begin{pmatrix} \dot{R}_{ab} & \dot{p}_{ab} \\ 0 & 0 \end{pmatrix} \cdot \begin{pmatrix} R_{ab}^{-1} & -R_{ab}^{-1} p_{ab} \\ 0 & 1 \end{pmatrix}$$

$$= \begin{pmatrix} \dot{R}_{ab} R_{ab}^{-1} & -\dot{R}_{ab} R_{ab}^{-1} p_{ab} + \dot{p}_{ab} \\ 0 & 0 \end{pmatrix} \in se(3)$$

$${}^1_b V_{ab} := T_{ab}^{-1} \cdot \dot{T}_{ab} = \begin{pmatrix} R_{ab}^{-1} \dot{p}_{ab} & -R_{ab}^{-1} \dot{p}_{ab} \\ 0 & 0 \end{pmatrix} \in SE(3)$$

Def: $\dot{T}_{ab} := T_{ab} T_{ab}^{-1}$ - Geschwindigkeit zwischen A und B, ausgedr. in B-Koord.

$${}^1_b V_{ab} := T_{ab}^{-1} \dot{T}_{ab}$$

$$V_{ab}^a = \begin{bmatrix} v_{ab}^a \\ w_{ab}^a \end{bmatrix} = \begin{bmatrix} -\dot{R}_{ab} \cdot R_{ab}^{-1} \vec{p}_{ab} + \dot{p}_{ab} \\ (\dot{R}_{ab} \cdot R_{ab}^{-1})^\vee \end{bmatrix} \begin{matrix} \text{reine Translation: } V_{ab}^a = (p_{ab}, 0) \\ \text{reine Rotation: } V_{ab}^a = (0, w_{ab}^a) \end{matrix}$$

$$V_{ab}^b = \begin{bmatrix} v_{ab}^b \\ w_{ab}^b \end{bmatrix} = \begin{bmatrix} R_{ab}^{-1} \dot{p}_{ab} \\ (R_{ab}^{-1} \dot{R}_{ab})^\vee \end{bmatrix}$$

$$\dot{T}_{ab} := \dot{T}_{ab} T_{ab}^{-1} = T_{ab} \underbrace{T_{ab}^{-1} \cdot \dot{T}_{ab}}_{{}^1_b V_{ab}} T_{ab}^{-1} = T_{ab} \cdot {}^1_b V_{ab} T_{ab}^{-1}$$

$$\left(\begin{matrix} w = R w \\ v' = z v \end{matrix} \Leftrightarrow \begin{matrix} \vec{w}' = R \vec{w} \\ v' = z v \end{matrix} \right)$$

Def: zu einer Transformation $T \in SE(3)$, $T = \begin{pmatrix} R & P \\ 0 & 1 \end{pmatrix}$ definieren wir die Adjungierte:

$$Ad_T := \begin{pmatrix} R & \vec{p} \cdot R \\ 0 & R \end{pmatrix} \in \mathbb{R}^{6 \times 6}$$

$$Ad_T^{-1} := \begin{pmatrix} R^{-1} & -R^{-1} \vec{p} \\ 0 & R^{-1} \end{pmatrix} = Ad_{T^{-1}}$$

Die Adjungierte transformiert Twistkoordinaten bzgl. versch. KS (von B \rightarrow A)

$$Ad_{T_{ab}} V_{ab}^b = \begin{pmatrix} R_{ab} & \vec{p}_{ab} \cdot R_{ab} \\ 0 & R_{ab} \end{pmatrix} \begin{pmatrix} v_{ab}^b \\ w_{ab}^b \end{pmatrix} = \begin{pmatrix} R_{ab} v_{ab}^b + \vec{p}_{ab} \cdot R_{ab} w_{ab}^b \\ R_{ab} w_{ab}^b \end{pmatrix}$$

$$= \begin{pmatrix} \dot{p}_{ab} + p_{ab} \times \omega_{ab}^a \\ \omega_{ab}^a \end{pmatrix} = v_{ab}^b$$

$$T(t) = e^{\int_0^t \dot{\xi} \Theta(t) dt} \cdot T_0$$

$$\dot{T}(t) = \dot{\xi} \int_0^t \Theta(t) dt \cdot T(t)$$

$$\dot{v}_{ab}^a = \dot{T} T^{-1} = \dot{\xi} \int_0^t \Theta(t) dt \cdot T T^{-1}$$

Lemma: Für 3KS (A, B, C) gelten folgende Relationen:

$$v_{ac}^a = v_{ab}^a + v_{bc}^a = v_{ab}^a + \text{Ad}_{T_{ab}} v_{bc}^b$$

$$v_{ac}^c = v_{ab}^c + v_{bc}^c = \text{Ad}_{T_{bc}^{-1}} v_{ab}^b + v_{bc}^c$$

$$v_{ab}^b = -v_{ba}^b = -\text{Ad}_{T_{ba}} v_{ba}^a = -\text{Ad}_{T_{ab}^{-1}} v_{ba}^a$$

1.4 Jacobi-Matrix

$$\xi : \Theta \mapsto v_{st}^s \quad T_{st} = e^{\int_1^1 \Theta_1(t) dt} \dots e^{\int_k^1 \Theta_k(t) dt} \cdot T_{st}(0)$$

$$\dot{v}_{st}^s = \dot{T}_{st} \cdot T_{st}^{-1} = \sum_{k=1}^k \left(\frac{\partial T_{st}}{\partial \Theta_i} \cdot \dot{\Theta}_i \right) \cdot T_{st}^{-1} = \sum_{i=1}^k \left(\frac{\partial T_{st}}{\partial \Theta_i} \cdot T_{st}^{-1} \right) \cdot \dot{\Theta}_i$$

$$\begin{aligned} \frac{\partial T_{st}}{\partial \Theta_i} T_{st}^{-1} &= e^{\int_1^1 \Theta_1} \dots e^{\int_{i-1}^1 \Theta_{i-1}} \cdot \frac{\partial}{\partial \Theta_i} e^{\int_i^1 \Theta_i} \cdot e^{\int_{i+1}^1 \Theta_{i+1}} \dots e^{\int_k^1 \Theta_k} \cdot T_{st}(0)^{-1} \\ &= \dots \cdot \frac{\partial}{\partial \Theta_i} e^{\int_i^1 \Theta_i} \cdot \dots \cdot e^{-\int_1^1 \Theta_1} \\ &= A \frac{\partial}{\partial \Theta_i} \cdot A^{-1} = \left(\text{Ad}_{A^{-1}} \frac{\partial}{\partial \Theta_i} \right) = \frac{\partial}{\partial \Theta_i} \end{aligned}$$

$${}^1\mathbf{V}_{st} = \boldsymbol{\zeta} \cdot \dot{\boldsymbol{\theta}}$$

Jede einzelne Spalte der Jacobi-Matrix ist als Twist interpretierbar (der die Bewegung des i -ten Gelenks erzeugt)

$$\boldsymbol{\zeta}'_i = \left(\frac{\partial T_{st}}{\partial \theta_i} T_{st}^{-1} \right)^\vee = \text{Ad}_{A_i} \boldsymbol{\zeta}_i, \quad A_i = \prod_{j=1}^{i-1} e^{\boldsymbol{\zeta}_j \theta_j}$$

A_i beschreibt die neue Lage des Twists $\boldsymbol{\zeta}_i$ nach Bewegung der ersten $i-1$ Gelenke.

$$\boldsymbol{\zeta}_{st}^s = [\boldsymbol{\zeta}'_1, \dots, \boldsymbol{\zeta}'_k] \quad {}^1\mathbf{V}_{st}^s = \boldsymbol{\zeta}_{st}^s \cdot \dot{\boldsymbol{\theta}}$$

Autonomes Greifen

11.11.11

$$J_{st}^s = T_{st}^0 T_{st}^{-1}$$

$$\xi_i^s = (-w_i^s \times q_i^s, w_i^s)$$

$$Ad \begin{pmatrix} \mathbb{1} & -p_i^s \\ \underline{0} & \mathbb{1} \end{pmatrix} \xi_i^s = (-w_i^s \times q_i^s - p_i^s \times w_i^s, w_i^s) \text{ klassische Robotik}$$

= führt zu Abh. von allen Gelenken

$$V_{st}^s = J_{st}^s \dot{\theta}_i \quad \dot{\theta}_i = (J_{st}^s)^{-1} V_{st}^s$$

$$V_{st}^s = Ad J_{st}^s \dot{\theta}_i \quad \dot{\theta}_i = (J_{st}^s)^{-1} Ad^{-1} V_{st}^s$$

Iterative Berechnung der Jacobi Matrix

Vormwärtskinematik für generische Berechnung

$$T_{st} = T_{s0} \left(\prod_{i=1}^n T_i(\theta_i) \right) \cdot T_{nt}$$

$A_i(\theta_i)$ - DH-Matrix

Per Konvention wählt man die z-Achse als Bewegungsachse.

$$T_i(\theta_i) = \begin{pmatrix} \cos(\theta_i) & -\sin(\theta_i) & & \\ \sin(\theta_i) & \cos(\theta_i) & & \\ & & 1 & 1 \end{pmatrix} \quad \bar{T}_i(\theta_i) = \begin{pmatrix} \mathbb{1} & b \\ & 0 \\ & \theta_i \\ & 1 \end{pmatrix}$$

1.8 Inverse Kinematik welche Gelenkgeschwindigkeit braucht man für eine V_{st}^* z

$$V_{st}^* = \underbrace{J_{st}^*}_{R^{m \times n}} \dot{\theta} \Rightarrow \dot{\theta} = (J_{st}^*)^{-1} \cdot V_{st}^* \quad \begin{matrix} m=6 \\ n=\# \text{Gelenke} \end{matrix}$$

Pseudoinverse: $J^\# = J^+ (J J^+)^{-1} = \underbrace{\left(\underbrace{J J^+}_{R^{m \times m}} \right)^{-1}}_{R^{m \times m}} J^+$

Pseudoinverse minimiert $\|\mathcal{J} \cdot \dot{\Theta} - V\|$ ~~und findet die beste Lösung~~
 und findet die norm-minimale Lösung: $\min \|\dot{\Theta}\|$
 stabile Berechnung mittels SVD

$$\mathcal{J}_{m \times n} = U_{m \times m} \cdot \sum_{m \times n} \cdot V_{n \times n}^+ \quad U^+ U = \mathbb{1} \quad V^+ V = \mathbb{1}$$

$$\sum_{m \times n} = \begin{pmatrix} \sigma_1 & & & \\ & \dots & & \\ & & \sigma_n & \\ & & & 0 \end{pmatrix}$$

$$\sum^\# = V \cdot \tilde{\Sigma}^{-1} \cdot U^+ \quad \tilde{\Sigma}^{-1} = \begin{pmatrix} \frac{1}{\sigma_1} & & & \\ & \dots & & \\ & & \frac{1}{\sigma_n} & \\ & & & 0 \end{pmatrix}$$

Singularitäten bei $\sigma_i \approx 0$
 Regularisierung

$$\sum^\# = \mathcal{J}^+ (\mathcal{J} \mathcal{J}^+ + \lambda \mathbb{1})^{-1} \Leftrightarrow \sigma_{\mathcal{J}^+ \lambda}^2 \Leftrightarrow \min \|\mathcal{J} \dot{\Theta} - V\| + \lambda \|\dot{\Theta}\|$$

1.8.1 Redundanzauffösung

Nullraum $\mathcal{N}(\mathcal{J})$ gilt: $\dot{\Theta}_N \in \mathcal{N}(\mathcal{J}) \cdot \mathcal{J} \dot{\Theta}_N = 0$

$$H = \|\Theta - \bar{\Theta}\|^2 \Rightarrow \dot{\Theta}_H = -\alpha \nabla_{\Theta} H \quad \text{Gradientenabst. zur Min. von } H$$

$$N(\mathcal{J}) = (\mathbb{1} - \mathcal{J}^\# \mathcal{J}) = U_N U_N^+ \quad \text{Nullraumprojektor: } \mathcal{J} \cdot N = 0$$

$$\dot{\Theta} = \mathcal{J}^\# \cdot V + N(\mathcal{J}) \cdot \dot{\Theta}_H$$

$$V = \mathcal{J} \cdot \dot{\theta} \quad \Leftrightarrow \dot{\theta} = \mathcal{J}^\# \cdot V + N \dot{\theta}_H, \quad \dot{\theta}_H = -\eta \nabla_{\dot{\theta}} H, \quad H = \|\theta - \theta_0\|^2$$

Vermeidung von Gelenkwinkelgrenzen

\Rightarrow Gewichte für Gelenke nah der Grenzen (und mit Bewegung auf die Grenze zu) werden nahe 0 gewählt.

\Rightarrow Jacobi-Pseudoinverse findet Lsg, die ohne das Gelenk auskommt.

1.8.2 Transponierte Jacobi Matrix

$$\Delta \theta = \alpha \mathcal{J}^T \Delta x$$

$$\Delta x' = \alpha \mathcal{J} \Delta \theta$$

Die tatsächliche Bewegung $\Delta x' \approx \alpha \mathcal{J} \Delta \theta$ und Δx die gewünschte Δx stimmen nicht exakt überein, zeigen aber (grob) in die selbe Richtung:

$$\begin{aligned} \Delta x' \cdot \Delta x &= \left(\alpha \mathcal{J} \mathcal{J}^T \Delta x \right)^T \cdot \Delta x = \alpha \left(\mathcal{J}^T \Delta x \right)^T \left(\mathcal{J}^T \Delta x \right) \\ &= \alpha \|\mathcal{J}^T \Delta x\|^2 \geq 0 \end{aligned}$$

Wie wählt man α ? Minimiere $E = \frac{1}{2} \|\Delta x' - \Delta x\|^2$

$$\alpha = \frac{\langle \Delta x, \mathcal{J} \mathcal{J}^T \Delta x \rangle}{\|\mathcal{J} \mathcal{J}^T \Delta x\|^2} = \frac{\Delta x \cdot \Delta x'}{\|\Delta x'\|^2} \quad \Rightarrow \frac{\partial E}{\partial \alpha} = 0$$

1.9 Wrenches: Drehmomente und Kräfte

Eine vollen. Kraft umfasst eine lineare Kraft $f \in \mathbb{R}^3$ und ein Drehmoment $T \in \mathbb{R}^3$. Dieses Paar nennen wir Wrench:

$$F = (f, T) \in \mathbb{R}^6$$



Die Kraft und das Drehmoment sollen im Ursprung ihres KS angreifen.

Fall 1: Ein Kraft: $F_c = (f_c, 0) \Leftrightarrow F_0 = \begin{pmatrix} R_{oc} f_c \\ R_{oc} \times R_{oc} f_c \end{pmatrix}$

Fall 2: Drehmoment: $F_c = (0, T_c) \Leftrightarrow F_0 = \begin{pmatrix} 0 \\ R_{oc} T_c \end{pmatrix}$

Fall 3: $F_c = (f_c, T_c) \Leftrightarrow F_0 = \begin{pmatrix} R_{oc} \\ R_{oc} R_{oc} \\ R_{oc} \end{pmatrix} \begin{pmatrix} f_c \\ T_c \end{pmatrix} = Ad_{T_{oc}}^{-T} \cdot F_c$

$$V_{oc}^0 = Ad_{T_{oc}} V_{oc}^c = \begin{pmatrix} R_{oc} & R_{oc} R_{oc} \\ & R_{oc} \end{pmatrix} V_{oc}^c$$

~~$$Ad_{T_{oc}}^{-T} = \begin{pmatrix} R^T & -R^T A \\ & R \end{pmatrix}$$~~

$$\begin{aligned}
 S_w &= V_{ac}^c \cdot F_c^c \stackrel{!}{=} V_{ao}^o \cdot F_o \\
 &= (V_{ac}^c)^T \cdot F_c^c = \left(\underbrace{dd_{Toc}^{-1}}_{F_o} V_{ao}^o + \underbrace{\overset{o}{V}_c^c} \right)^T \cdot F_c^c \\
 &= (V_{ao}^o)^T \cdot \underbrace{\left(dd_{Toc}^{-1} \cdot F_c^c \right)}_{F_o}
 \end{aligned}$$

1.9.1 Dualität zwischen Twists und Wrenches

Def: Eine Twist V und Wrench F heißen reziprok zu einander, wenn ihr Skalarprodukt $S_w = F \cdot V$ Null ist, d.h. Vektoren orthogonal im 6-d Raum.

Eine Menge Twists V_1, \dots, V_N oder eine Menge Wrenches F_1, \dots, F_N spannen einen linearen Unterraum im \mathbb{R}^6 auf (mit Dim m).

Der orthogonale Unterraum mit Dim. $6-m$ enthält dazu reziproke Wrenches bzw. Twists.

1.10 Transponierte Jacobi Matrix bildet Kräfte am Endeffektor auf Gelenk-Drehmomente ab.

$$W = \int_{t_1}^{t_2} S_w dt = \int_{t_1}^{t_2} \dot{\Theta}^T T dt = W = \int_{t_1}^{t_2} (V_{st}^s)^T \cdot F_s dt \quad \forall t_1, t_2 \in \mathbb{R}$$

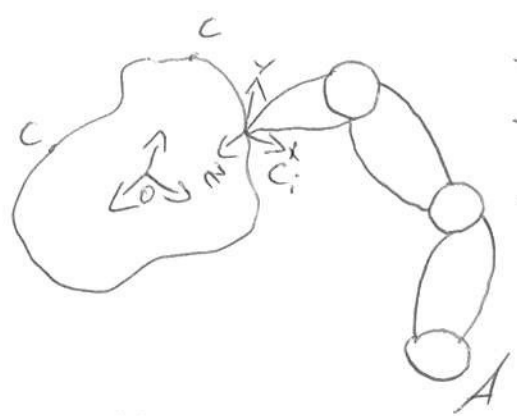
$$\Leftrightarrow \dot{\Theta}^T T = (V_{st}^s)^T \cdot F_s = \left(\overset{s}{S}_{st} \dot{\Theta} \right)^T F_s \quad \forall \dot{\Theta}$$

$$\Rightarrow T = \left(\overset{s}{S}_{st} \right)^T \cdot F_s$$

$$\dot{\Theta} = \overset{s}{S}^T V$$

2. Mehrfingerige Greifen

Wie kann man einen Griff beschreiben??



- Objekt-KS 0
- Kontakt-KSe C_i : Konvention: z-Achse entlang der Normalen ins Objektinnere
- + Kontaktmodelle

2.1.1 Kontaktmodelle

ist definiert durch ein Reibungsmodell: Welche Kräfte können durch den Kontakt übertragen werden?

- Punktkontakt ohne Reibung: Kräfte können nur entlang der Kontaktnormalen übertragen werden.

Tangentielle Kräfte, parallel zur Kontaktfläche nicht erlaubt.

$$F_c = [0, 0, f, 0, 0, 0]^T, F_c = \{f \geq 0\}$$

$$F_c = \begin{pmatrix} 0 \\ 0 \\ f \\ 0 \\ 0 \\ 0 \end{pmatrix} \begin{matrix} \\ \\ \leftarrow BC \\ \\ \end{matrix}$$

⇒ Reibungsmodell beschreibbar durch eine Basis (von potentiell möglichen) Kraftrichtungen, den freien Parametern (Kontaktkräfte) und Bedingungen F_c an diese Kontaktkräfte.

- Punktkontakt mit Reibung (mit Haftreibung / Gleitreibung)



Coulomb-Gesetz: $\|f_{\pm}\| \leq \mu f_z$ μ -Reibungskoeffizient.
 $\mu = \tan \alpha$

$$F_c = [f_x, f_y, f_z, 0, 0, 0]^T = \begin{pmatrix} 1 & 0 & 0 \\ 0 & 1 & 0 \\ 0 & 0 & 1 \\ 0 & 0 & 0 \\ 0 & 0 & 0 \\ 0 & 0 & 0 \end{pmatrix} \cdot \begin{pmatrix} f_x \\ f_y \\ f_z \end{pmatrix} \quad F_c = \{f_c \in \mathbb{R}^3 \mid 0 \leq \sqrt{f_x^2 + f_y^2} \leq \mu f_z\}$$

-(Punktkontakt) Soft-Fingern-Kontakt: realistischerer Kontakt, der versucht Eigenschaften von Flächenkontakten zu modellieren, nämlich die Möglichkeit ein Drehmoment τ_z auszuüben.

$$F_c = [f_x, f_y, f_z, 0, 0, \tau_z]^T = \begin{pmatrix} 1 & 0 & 0 \\ 0 & 0 & 0 \\ 0 & 0 & 1 \end{pmatrix} \cdot \begin{pmatrix} f_x \\ f_y \\ f_z \\ \tau_z \end{pmatrix}$$

$$FC: 0 \leq \sqrt{f_x^2 + f_y^2} \leq \mu f_z$$

$$|\tau_z| \leq \gamma f_z$$

Die Menge der Wrenches die durch diese Modelle beschrieben wird ist jeweils konvex:

$$\forall f_1, f_2 \in FC, \forall \alpha, \beta \geq 0: \alpha f_1 + \beta f_2 \in FC$$

z.z. Die Graf-Matrix

Welche Gesamtkraft F_0 wirkt auf das Objekt/kann auf das Objekt einwirken.

$$F_{c_i} = B_{c_i} \cdot f_{c_i}$$

$$F_0 = \sum_{i=1}^k \underbrace{ad_{T_{oc_i}}^{-1}}_{\text{statistischer/geometr. variabel}} \underbrace{B_{c_i}}_{\text{matrix}} \cdot f_{c_i} \quad | f_{c_i} \in FC_{c_i}$$

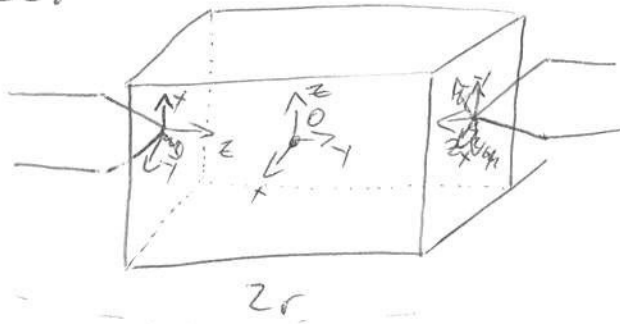
statistischer/geometr. variabel
anteil

$$G_i = ad_{T_{oc_i}}^{-1} B_{c_i} \in \mathbb{R}^{6 \times m_i} \quad m_i \text{ ist Dim. der Wrench-Basis}$$

$$G = [G_1, \dots, G_k] \text{ - Gesamtmatrix, } G \in \mathbb{R}^{6 \times m} \quad m = \sum m_i$$

$$F_0 = G \cdot \vec{f}_c \quad | \vec{f}_c = (\vec{f}_1, \dots, \vec{f}_k) \quad | \vec{f}_c \in FC = FC_1 \times \dots \times FC_k$$

Beispiel:



Punktkontakt mit Reibung

$$B_c = \begin{pmatrix} \mathbb{1}_{3 \times 3} \\ 0 \end{pmatrix}$$

$$Ad_{T_{oc_i}^{-1}}^T = \begin{pmatrix} R_{oc_i} & 0 \\ \vec{r}_{oc_i} R_{oc_i} & R_{oc_i} \end{pmatrix}$$

$$G = \begin{pmatrix} 0 & 1 & 0 & 1 & 0 & 0 \\ 0 & 0 & 1 & 0 & 0 & -1 \\ 1 & 0 & 0 & 0 & 1 & 0 \\ -r & 0 & 0 & 0 & r & 0 \\ 0 & 0 & 0 & 0 & 0 & 0 \\ 0 & r & 0 & -r & 0 & 0 \end{pmatrix}$$

$$\sqrt{f_{1x}^2 + f_{1y}^2} \leq \mu f_{1z}$$

$$\sqrt{f_{2x}^2 + f_{2y}^2} \leq \mu f_{2z}$$

2.2 Bewertung von Griffen

In wie weit kann ein Griff externen Kräften widerstehen, und damit die Geometrie des Griffes stabil halten?

Def: Force Closure: Ein Griff (G, FC) heißt Force Closure, wenn er jedem externen Wrench widerstehen kann.

$$\forall F_e \in \mathbb{R}^6 \exists \vec{f}_c \in FC : G \vec{f}_c = -F_e \Leftrightarrow F_0 = G \cdot \vec{f}_c + f_e = 0$$

$$G(FC) = \mathbb{R}^6$$

Satz: Ein Griff ist force-closure genau dann wenn G surjektiv ist und es strikte interne Kräfte gibt: $f_{int} \in \mathcal{N}(G) \cap \text{int}(FC) \neq \emptyset$

Interne Kräfte haben keinen Nettoeinfluss auf das Objekt:

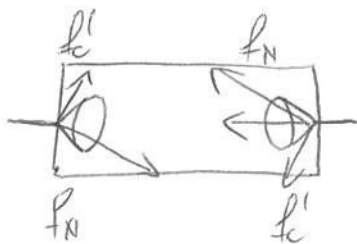
$$G \cdot f_N = 0$$

Beweis: \Leftarrow Wähle $F_e \in \mathbb{R}^6$, G surjektiv: $\exists f_c' \in \mathbb{R}^m$

$$(f_c' \notin FC), G \cdot f_c' = -F_e$$

Durch Addition interner Kräfte kann f_c' in die Reibungskegel FC verschoben werden.

$$\text{dann: } \lim_{\lambda \rightarrow \infty} \frac{f_c' + \lambda f_N}{\lambda} = f_N \in \text{int}(FC)$$



\Rightarrow

$$G(\mathbb{R}^m) = \mathbb{R}^6 \quad \text{Surjektivität ist klar}$$

Sei F_e beliebig $\exists \vec{f}_1, \vec{f}_2 \in \text{int}(FC)$ mit $G \vec{f}_1 = F_e$ und $G \vec{f}_2 = -F_e$

$$\Rightarrow f_N = f_1 + f_2 \in \text{int}(FC)$$

Antipodale Gritte:

Satz: Ein planarer Gritt mit zwei Punktkontakten mit Reibung ist Force-Closure gdw. die Verbindungslinie zwischen den Kontaktpunkte strikt innerhalb der Reibungskegel liegt.



$$F_0 = G \cdot \vec{f}_c \quad G = [G_i] \quad G_i = \text{dd}_{\text{loc}_i}^{-1} B_{c_i}$$

force closure: $\forall F_e \in \mathbb{R}^6: \exists f_c \in FC: F_e = F_0 = G \cdot f_c$
 G surjektiv, strikte innere Kräfte

Antipodaler Griff 

2D: Punktkontakt mit Reibung \rightarrow Surjektivität von G
 $P=3$ im \mathbb{R}^3 wrench-space (x, y, τ)

3D: Softfingerkontakte \rightarrow Surjektivität
 $P=6$

2.2.2 Formclosure

Ein Griff heißt Formclosure, wenn er unter der Annahme von Punktkontakten ohne Reibung stabil ist. force closure ist.

form closure \Rightarrow force closure

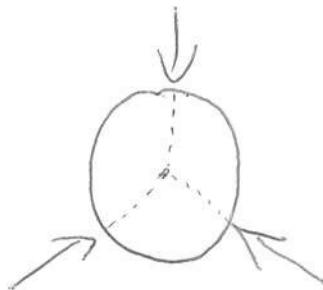
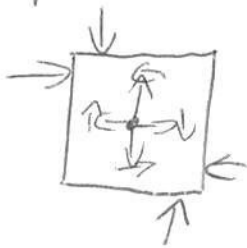
$$\Leftrightarrow \forall F_e \in \mathbb{R}^{p(=6)}: \exists f_i \geq 0: \text{Add. } \sum_i G_i f_i = -F_e$$

Die Spalten G_i von G spannen den \mathbb{R}^p also positiv auf

- Die konvexe Hülle der Spalten von G enthält eine ε -Umgebung des Ursprungs.

$$\text{co}(\{G_i\}) = \{F = \sum f_i G_i \mid f_i \geq 0, \sum f_i \leq 1\}$$

Beispiele für ZO-Grille



Satz: (Caratheodory)

wenn eine Menge $X = \{v_1, \dots, v_k\} \in \mathbb{R}^p$ den gesamten Raum aufspannt, dann gilt: $k \geq p+1$

2.2.3 Qualitätsmaße

Qualität eines Gitters kann beschrieben werden durch das Volumen der Form der Wrench space

$$W(G) = \{T_0 = Gf_c \mid f_c \in FC, \|f_c\| \leq 1\}$$

Die Norm kann unterschiedlich definiert werden und man erhält unterschiedliche Wrench-spaces W . In der Regel wird die Normalkraft f_i^c beschränkt.

1. Jeder Kontakt ist unabhängig: $0 \leq f_i^c \leq 1 \Leftrightarrow \|f_c\|_1 = \max_i |f_i^c| \leq 1$

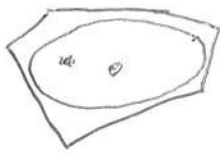
$$W_{L_1} = \text{co} \left(\bigoplus G(FC_{c_i}^{\max}) \right)$$

2. Summe der Normalkräfte ist beschränkt: $\|f_c\|_1 = \sum_i |f_i^c| \leq 1$

$$W_{L_1} = \text{co} \left(\bigcup G(FC_{c_i}^{\max}) \right), \quad FC_{c_i}^{\max} \approx \text{co} \left(\begin{matrix} f_i^c \\ f_c \end{matrix} \right) \quad j = \# \text{ Restriktionspunkte}$$

Beschreibung der Griffqualität anhand des Wrench-space:

- Falls der Ursprung (der Kraftraum) innerhalb von W liegt, dann ist der Griff face-closure.
- Bestimme den kleinsten Abstand vom Ursprung zum Rand von W . Die ^{zwei} Richtung, gibt die Kraft-Richtung an, die der Griff besonders leicht erzeugen kann.
- Bestimme mittlere Qualität des Griffs über das Volumen des Wrench-space
- Task Ellipsoid: Ersetze Kugel, die Kräfte in alle Richtungen gleich bewertet durch ein Ellipsoid und suche größte Ellipsoid bestimmter Form und Orientierung im Raum (task-abhängig), das noch in W hineinpasst.



$$E = \left\{ x \mid (x-\mu)^T \Sigma^{-1} (x-\mu) \leq \epsilon, \Sigma \in \mathbb{R}^{6 \times 6}, \mu \in \mathbb{R}^6 \right\}$$

$$\Sigma = U \text{diag}(\sigma_1, \dots, \sigma_6) U^T \quad U U^T = \mathbb{1} \quad \sigma \geq 0$$

Σ beschreibt die Form und Orientierung des Ellipsoids, ϵ beschreibt die Größe von E

- Virtuelle Kontakte: Wir suchen die Kraft (Maximal) αF die wir in Richtung F ausüben können.

$$G f_c = \alpha F \Leftrightarrow \underbrace{[G-F]}_{G'} \underbrace{\begin{bmatrix} f_c \\ \alpha \end{bmatrix}}_{f'_c} = 0 \quad \alpha > 0$$

$$f'_c = 0$$

2.2.4 Lineare Matrixungleichungen (LMI)

Ziel: exakte Beschreibung der Reibungsbedingungen FC

Def: Sei $S = S^T \in \mathbb{R}^{n \times n}$ eine symm. Matrix, Die Schreibweisen

$S > 0$ "S ist positiv definit"

$S \geq 0$ "S ist positiv semidefinit"

verallgemeinern die skalaren Ungleichungen und stehen für:

$$S > 0 \Leftrightarrow \forall x \neq 0, x^T S x > 0$$

\Leftrightarrow alle (reellen) eigenwerte λ_i von S sind positiv
 $\lambda_i(S) > 0$

$$S \geq 0 \Leftrightarrow \forall x \neq 0, x^T S x \geq 0$$

$$\Leftrightarrow \lambda_i(S) \geq 0$$

Def: Eine LMI ist eine Gleichung der Form:

$$P(x) = S_0 + x_1 S_1 + \dots + x_k S_k \geq 0$$

wobei die $S_i \in \mathbb{R}^{n \times n}$ symm. Matrizen sind und $x_i \in \mathbb{R}$ sind skalare Variablen um die Ungleichung zu erfüllen.

Satz: Sei eine LMI der Form $P(x) = S_0 + \sum_{i=1}^m x_i S_i$ und eine beliebige affine Transformation $x = Az + b$ mit $A^{m \times e}$ und $b \in \mathbb{R}^m$ gegeben, dann ist

$P'(z) = P(Az + b)$ wieder eine LMI in den neuen Variablen $z \in \mathbb{R}^e$

Beweis:
$$p'(z) = s_0 + \sum_{i=1}^m s_i \underbrace{\left(\sum_{j=1}^e a_{ij} z_j + b_i \right)}_{x_i = (Az+b)_i}$$

$$= \underbrace{s_0 + \sum_{i=1}^m s_i b_i}_{s_0'} + \sum_{j=1}^e z_j \underbrace{\left(\sum_{i=1}^m a_{ij} s_i \right)}_{s_j'}$$

Satz: Die Reaktionskegelbedingungen der FC können als LMI formuliert werden.

- reibungsloser Punktkontakt:

$$P = f \geq 0$$

- Punktkontakt mit Reibung:

$$P = \begin{pmatrix} \mu f_z + f_x & f_y \\ f_y & \mu f_z - f_x \end{pmatrix} \geq 0$$

$$P = \begin{pmatrix} \mu & 0 \\ 0 & \mu \end{pmatrix} f_z + \begin{pmatrix} 1 & 0 \\ 0 & -1 \end{pmatrix} f_x + \begin{pmatrix} 0 & 1 \\ 1 & 0 \end{pmatrix} f_y \geq 0$$

Eigenwerte $\lambda_{\pm}(P) = \mu f_z \pm \sqrt{f_x^2 + f_y^2} \geq 0$

$$\lambda_- \geq 0 \Leftrightarrow \sqrt{f_x^2 + f_y^2} \leq \mu f_z$$

$$\lambda_+ > 0$$

- Softfingerkontakt:

$$P = \begin{pmatrix} f_z & & & \\ & f_z & & \\ & & \alpha f_x & \\ & & \alpha f_y & \\ & & \beta f_n & \\ \alpha f_x & \alpha f_y & \beta f_n & f_z \end{pmatrix} \geq \alpha = \mu^{-1}, \beta = \gamma^{-1}$$

Für mehrere LMI $P_i \geq 0$ gilt:

$$\vec{f} \in FC \Leftrightarrow P(\vec{f}) = \begin{pmatrix} P_1(f_{c1}) \\ P_2(f_{c2}) \\ \dots \\ P_k(f_{ck}) \end{pmatrix} \geq 0$$

Bemerkungen:

- Die triviale Lösung mit $f_c = 0$ erfüllt die Nebenbed.

$$P(f_c) \geq 0$$

- Wenn f_c strikt im Inneren der FC liegen soll, fordert man $P(f_c) > 0$. Dann gibt es auch keine triviale Lösung.

Skalare Ungleichungen:

$$m \leq T \leq M \Leftrightarrow \begin{matrix} -m + T \geq 0 \\ M - T \geq 0 \end{matrix} \Leftrightarrow \begin{pmatrix} -m \\ M \end{pmatrix} + \begin{pmatrix} 1 \\ -1 \end{pmatrix} T \geq 0$$

Face closure: Falls G surjektiv ist, bestimme eine Basis

$N = [n_1, \dots, n_e]$ des Nullraumes von G . Jeder Vektor $f_N \in N(G)$ kann dann als $f_N = Nz$ mit $z \in \mathbb{R}^e$ geschrieben werden.

z.z.: $P(f_N) \geq 0$ für $f_N \in N(G)$

$\Rightarrow P'(z) = P(Nz) > 0 \rightarrow$ Löse bzgl. $z \in \mathbb{R}^e$

wenn eine Lösung für die LMI existiert, gibt es strikte interne Kräfte, sodass der Gitter G face-closure ist.

Minimierung der Kontaktkräfte:

Bei vorgegebenem externen Kraft Wrench $\begin{pmatrix} F_e \\ \tau_e \end{pmatrix}$, suche minimale Kontaktkräfte f_c , um dem Wrench zu widerstehen.

- Best. bel. Lösung f_0 die der Gleichung $G \cdot f_c = -F_e$ (Pseudoinv. $G^\#$)
- ~~additive~~ interne Kräfte, um die Reibungsbed. zu erfüllen:

$$M = \{ f_c \in \mathbb{R}^m \mid G f_c = -F_e, f_c \in FC \} = \{ f_0 + Nz \mid z \in \mathbb{R}^{e3} \}$$

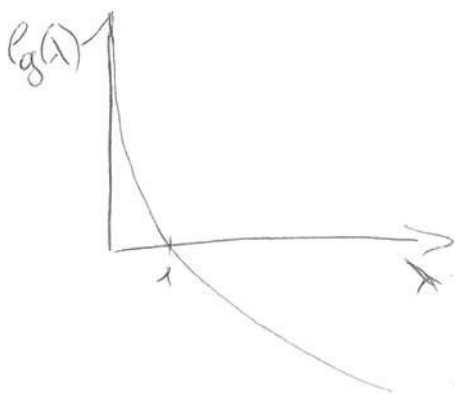
→ Optimierung: $\min \psi(f_c) = w^T f_c, f_c \in FC$

⇒ $\min \psi(z) = \psi(f_0 + Nz) = \underbrace{w^T f_0}_{\text{const}} + \underbrace{w^T N}_{w^T} z, P(z) > 0$

Leider: Lsg. des Lin. Optimierungsproblems immer auf dem Rand, d.h. Rand von FC

↳ zusätzliche Kostenfunktion: mögl. großer Abstand zum Rand der Reibungskegel:

$$\min \psi(z) = w^T Nz + \underbrace{\log(\det \bar{P}^{-1}(z))}_{-\sum \log \lambda_i} \quad \det \bar{P}^{-1} = \prod \lambda_i^{-1}$$

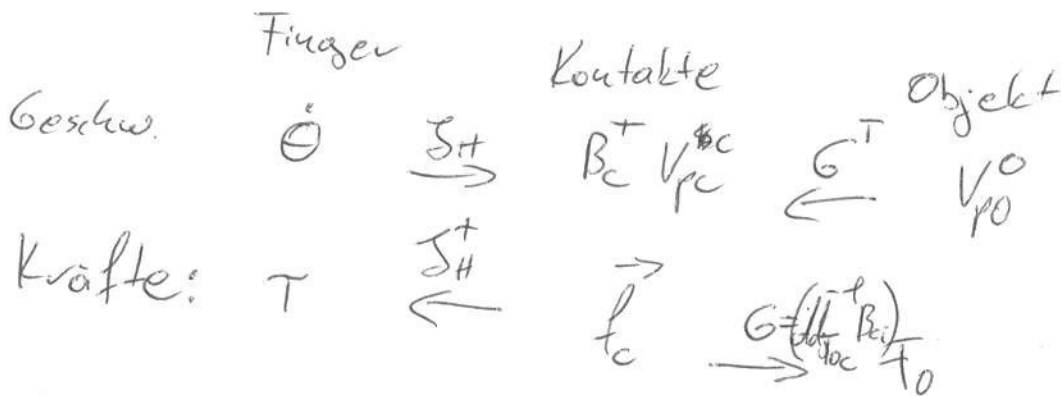
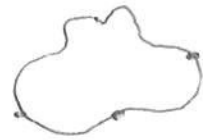


Auf den Kegelwänden gilt $P(z) = 0 \Leftrightarrow \lambda_i = 0$

$-\log(\lambda_i) \rightarrow \infty$ für $\lambda_i \rightarrow 0$

⇒ $-\sum \log \lambda_i$ ist wirkungsvolle Barriere um die Kräfte innerhalb der Reibungskegel FC zu halten.

2.6 Zusammenfassung



force closure: jedem wrench F_e kann (passiv) widerstanden werden.
 $G(FC) = \mathbb{R}^6$

manipulierbarkeit: jede Objektbewegung kann durch ^{geeignete} ~~entspr.~~ Gelenkbewegungen erzeugt werden ohne eine Bewegung zwischen Finger und Objekt in den Kontaktpunkten (bzgl. Kontaktbasis B_c) zuzulassen, d.h. i.d.R. kein Sliding.

$$R(G^T) \subseteq R(\mathcal{J}_H)$$

interne Kraft: Kontaktkräfte, die keinen Netto-Wrench auf das Objekt ausüben.

$$f_N \in N(G) \cap FC$$

interne Bewegungen: Gelenkbewegungen $\dot{\Theta}$ die keine Objektbewegung erzeugen.

$$\dot{\Theta}_N \in N(\mathcal{J}_H)$$

Autonomen Greifen

13.01.17

strukturelle Koäfte: Kontaktpunkte f , die ohne Gelenk-
drehmomente aufgebracht werden
(können).

$$f_c \in \mathbb{N} \binom{f^+}{f_H}$$

Voraussetzungen zum Greifen:

3D-Pose (Position + Orientierung)

3D-Shape

Taktil-/Kraft feedback, nachgebige
motorsteuerung

Ausätze zum Greifen:

1. Optimierung von Kontaktpunkten

→ Inverse Kinematik / Bewegungsplanung, um Kontakte zu erreichen
#schlecht

2. einfache Zusgreifen mit nachgebigen Greifern

→ hohe Kontaktfläche und hohe Griffstabilität (force closure)
aber wenig manipulierbarkeit

3. ~~Simulation~~ Simulation von Greifbewegungen ausgehend von
unterschiedlichen Angriffsrichtungen $\in \mathbb{R}^6$ (relative Lage
von Objekt und Hand) und unt. Handposturen / -stellungen
Bewertung des erreichten Griffs bzgl. Stabilität.

Planung / inverse Kinematik (jetzt nur für Roboterarm /
Endeffektorlage)

Regelung der Kontakt / Greifkraft, sodass Objekt stabil
gehalten wird

→ Wissen über Objektgewicht / Trägheitseigenschaften

→ besser: online-regelung der Griffkraft um ^(z.B.) Slip zu
vermeiden erfordert Slip-detection → erf. Kont. Kraft / _{Sensoren} Taktil-

Kraftmessung

- Drehmomentensensoren in den Gelenken
- Motorstrom erlaubt grobe Abschätzung des Gelenkdrehmoments abzgl. nicht messbarer Verluste im Getriebe.

Posturabhängig

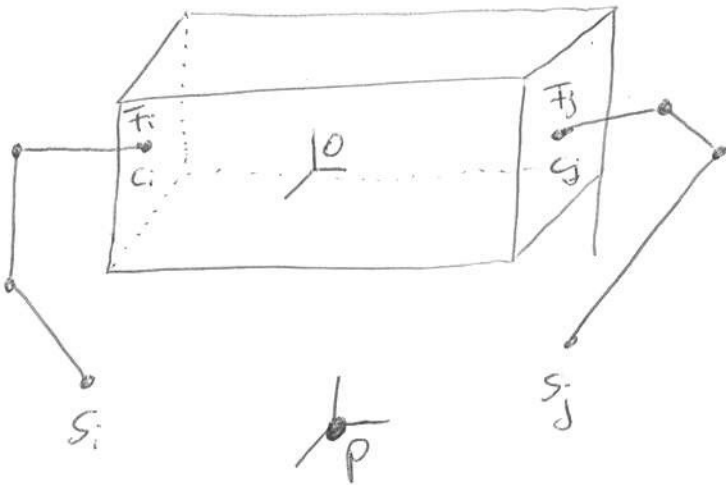
- Taktile Sensorik misst lokale Kräfte Kontaktkräfte
- ermöglicht Erkennung räumlicher Strukturen, Kanten, Vertiefungen, etc.

direkte Kraftmessung unabhängig von der Postur

Strategien zur Einschränkung des Suchraums bei der Simulation von Griffen

- 6 D-Raum von rel. Hand-Objekt-Lage

- Beschränkung auf Basisformen: Kugel, Zylinder, Kegel, Quader
- Antipodale griffe: suche gegenüberliegende parallele Flächen eines Objektes

2.3. Die Greifbedingung

Die Greifbedingung für einen Kontakt legt fest, entlang welcher Richtungen keine Objekt-Finger-Bewegung möglich ist.

Bsp: Punktkontakt ohne Reibung

$$[0, 0, 1, 0, 0, 0]^T \cdot v_{c_i}^c \stackrel{!}{=} 0$$

Im Allgemeinen dürfen keine Verschiebungen entlang der Richtungen stattfinden, entlang derer Kräfte ausgeübt werden können. Für einen beliebigen Kontakt gilt daher:

$$B_{c_i}^T \cdot v_{c_i}^c \stackrel{!}{=} 0 \quad (*)$$

$$A \rightarrow B \rightarrow C: v_{ac}^c = d d_{T_{bc}}^{-1} v_{ab}^b + v_{bc}^c$$

$$v_{ab}^b = -d d_{T_{ba}}^{-1} v_{ba}^a = -v_{ba}^a$$

$$F_i \rightarrow P \rightarrow C_i : V_{f_i C_i}^{C_i} = \text{Ad}_{T_{P C_i}}^{-1} V_{f_i P}^P + V_{P C_i}^{C_i}$$

$$= -\text{Ad}_{T_{P C_i}}^{-1} \text{Ad}_{T_{P f_i}} V_{P f_i}^P + V_{P C_i}^{C_i}$$

$$P \rightarrow O \rightarrow C_i : V_{P C_i}^{C_i} = \text{Ad}_{T_{O C_i}}^{-1} V_{P O}^O + \overset{0}{V_{O C_i}^{C_i}}$$

$$V_{f_i C_i}^{C_i} = -\text{Ad}_{T_{P C_i}}^{-1} \text{Ad}_{T_{P f_i}} V_{P f_i}^P + \text{Ad}_{T_{O C_i}}^{-1} V_{P O}^O$$

$$B_{C_i}^T \text{Ad}_{T_{P C_i}}^{-1} \text{Ad}_{T_{P f_i}} V_{P f_i}^P \stackrel{!}{=} B_{C_i}^T \text{Ad}_{T_{O C_i}}^{-1} V_{P O}^O = G_i^T V_{P O}^O$$

$$= (\text{Ad}_{T_{O C_i}}^{-1} B_{C_i})^T = G_i^T$$

Die Fingerspitzen-geschwindigkeit $V_{P f_i}^P$ können wir über die Jacobi-Matrix bestimmen: $V_{P f_i}^P = J_{P f_i}^P(\theta_i) \cdot \dot{\theta}_i$

$$\Rightarrow B_{C_i}^T \text{Ad}_{T_{P C_i}}^{-1} \cdot J_{P f_i}^P \cdot \dot{\theta}_i = G_i^T V_{P O}^O = B_{C_i}^T \cdot V_{P C_i}^{C_i}$$

Geschwindigkeit der Fingerspitze in C_i projiziert auf die Kraftrichtungen B_{C_i} des Kontakts. Geschw. des Kontakts. proj. auf Polm. Proj. mit B_{C_i}

Definiert Jacobi-Matrix für K-Kontakte/Finger:

$$J_H(\theta, T_{P O}) = \begin{pmatrix} B_{C_1}^T \text{Ad}_{T_{P C_1}}^{-1} J_{P f_1}^P(\theta_1) \\ \vdots \\ B_{C_k}^T \text{Ad}_{T_{P C_k}}^{-1} J_{P f_k}^P(\theta_k) \end{pmatrix} \in \mathbb{R}^{m \times n}$$

$$m = \sum_{i=1}^k m_i - B_{C_i} = \mathbb{R}^{6 \times m_i}$$

$$n = \sum_{i=1}^k n_i - \# \text{Fingerglieder}$$

Greifbedingung: $J_H(\theta, T_{p_0}) \cdot \dot{\theta} = G^T \cdot v_{p_0}^0$

2.4 Manipulierbarkeit

Def: Ein Greif heißt manipulierbar, falls für jede Objektbewegung v_{p_0} relativ zu P durch entsprechende Gelenkwinkelbewegungen $\dot{\theta}$ erzeugt werden kann.

Satz: Ein Greif ist manipulierbar, gdw. $R(G^T) \subseteq R(J_H)$.
d.h. alle Vektoren $v \in \mathbb{R}^m$, die G^T erzeugen kann, kann J_H auch erzeugen.

Beweis: " \Rightarrow " Sei $v \in R(G^T)$ bel., dann gibt es $v_{p_0}^0$ mit

$$\vec{v} = G^T v_{p_0}^0$$

Manipulierbarkeit \Rightarrow es gibt $\dot{\theta}$ mit $\vec{v} = G^T v_{p_0}^0 = J_H \dot{\theta} \in R(J_H)$

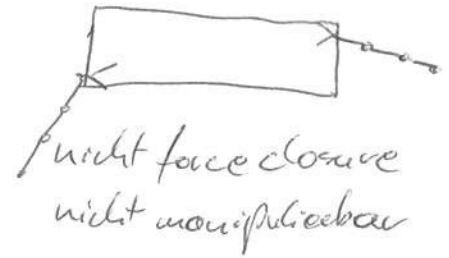
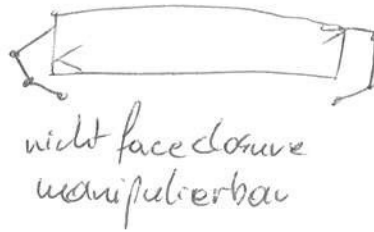
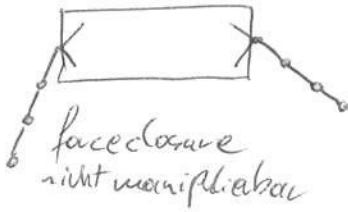
" \Leftarrow " Sei $v_{p_0}^0$ beliebig und Sei $\vec{v} = G^T v_{p_0}^0$. Da $v \in R(J_H)$ existiert $\dot{\theta}$ mit $J_H \dot{\theta} = v$

Bemerkung: J_H braucht nicht invertierbar zu sein, da die pseudoinverse muss für elemente des Bildraums $R(G^T)$ (höchst. G -dim) "fehlerfrei" invertierbar sein.

• Falls die Anzahl der Gelenke $n > m$ (Redundanz) existieren interne Bewegungen $\dot{\theta}_I$ aus dem Nullraum von J_H die keine Objektbewegung bzgl. relevanter Richtungen erzeugen.

• Force closure und Manipulierbarkeit sind unabhängige Konzepte.

2D Greife



2.5 Strukturelle Kräfte

Die Hand-Jacobi-Matrix kann auch Kontaktkräfte zu f_c in Gelenk-Prehmomente umrechnen:

$$\int_{t_1}^{t_2} \dot{\Theta}_i^T \Pi_i dt = W = \int_{t_1}^{t_2} \left(\frac{\partial \psi_i}{\partial p_i} \right)^T f_i dt$$

$$\Leftrightarrow \dot{\Theta}_i^T \Pi_i = \delta W = \left(A_{Toc_i}^{-1} V_{p_0}^0 \right)^T \beta_{c_i} f_{c_i} \quad \forall \dot{\Theta}_i \in \mathbb{R}^{n_i} \quad \forall t_{1,2} \in \mathbb{R}$$

$$= \left(\beta_{c_i}^T \text{Ad}_{T_{oc_i}}^{-1} V_{p_0}^0 \right)^T f_{c_i} = \left(G_i^T V_{p_0}^0 \right)^T f_{c_i}$$

$$= \left(\delta_H^i \cdot \dot{\Theta}_i \right)^T f_{c_i} = \dot{\Theta}_i^T \left(\delta_H^i \right)^T f_{c_i}$$

$$\Rightarrow \Pi_i = \left(\delta_H^i \right)^T f_{c_i} \quad \text{Zusammengefasst für alle Kontakte:}$$

$$\Pi = \delta_H^T f_c$$

- Kontaktkräfte $\vec{f}_c \in \mathcal{N}(\delta_H^T)$ heißen strukturelle Kräfte, die sind Kräfte die nicht von Drehmomenten in den Gelenken herrühren, sondern von der ~~media~~ Struktur der Hand aufgebracht werden. Der Griff ist dann nicht manipulierbar

2.X Problem des Greifens in der Praxis

- Unsicherheit in Objektpose und Form und Kontaktposition/Kraft

→ Fehler entstehen und wir müssen damit umgehen!

→ Feedback-schemen erlauben Fehlerdynamisch zu korrigieren.

- Vision: z.B. "interest points" → lokale Bildstatistik.

- Taktik

oder alternativ/zugötlich: Nachgiebigkeit in den Fingern

- z.B. künstl. Muskeln / Begrenzung des Motorstroms / der Kraft

→ erlaubt "gröberes" Zugreifen, Fehler werden "automatisch" durch die Physik korrigiert.

2.X.1 Taktilsensoren


- hohe räumliche Kraftauflösung an den Segmenten (insb. Endeffektoren)

→ Wahrnehmung von Kontaktkräften

• Oberflächenstrukturen

- Zwei Klassen: resistiv vs. kapazitiv

• resistiv: messe Widerstandsänderungen

Bsp: FSR  für punktuelle Kraftmessung.

• kapazitiv: messe Kapazitätsänderung



Kraft ändert Kapazität des Kondensators

Autonomen Greifen

20.01.12

2.X.3 Slip-Detection

zwei Objekte, die sich gegeneinander bewegen erzeugen auf Molekülebene Mikrovibrationen im Frequenzbereich von ca. 400 Hz.

→ Nyquist-Kriterium: Sampl.-Rate von 800 Hz notwendig.

Analyse des FFT-Spektrums zeigt charakteristische peaks bei Auftreten von slip, die klassifiziert werden können.

Räumliches Erkennen von slip zu langsam aufgrund der geringen Auflösung.

2.X.4 adaptive Gitterkraftregelung

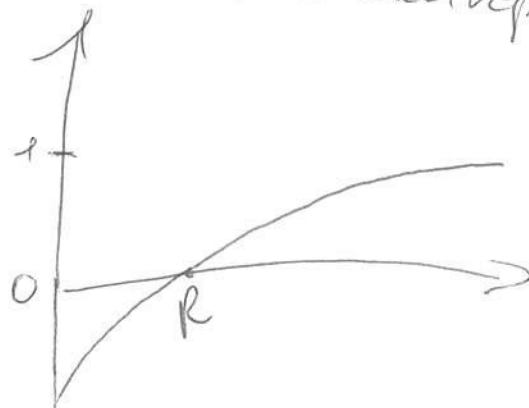
$$\Delta f(t) = \begin{cases} +\Delta & \text{falls slip festgestellt wird} \rightarrow \text{schnelle Erhöhung} \\ -k f(t-1) & \text{sonst} \rightarrow \text{exp. abfall (sehr kleiner)} \end{cases}$$

2.X.5 Controller-basierendes Greifen

Objekte sind implizit durch Funktionen ^(implicit surface) repräsentiert.

Bsp: Kugel
mit Radius R

Bsp



Funktion definiert ein Potential, dessen Wert mit größerem Abstand zum Objekt wächst und auf der Objektoberfläche Null sei.

Autonomen Greifen

20.01.17

Unterschiedliche Controller verwenden Potential um Gelenk-
bewegungen zu erzeugen:

- Handmittelpunkt folgt dem Gradienten des Potentials
⇒ Hand → Objekt
- Handnormale mit dem Gradienten ausrichten / Winkel minimieren
⇒ Handinnenfläche zum Objekt ausgerichtet
- Jede einzelne Fingerspitze verwendet obige Controller
⇒ jeder Finger bewegt sich konzentriert orientiert
auf die Oberflache zu
- Controller für gute Opposition der Finger
- z.B. $\|\sum_i \vec{n}_i\| \rightarrow \text{min}$
- Abst der Fingerspitzen zu einander maximieren

Lernen in der Robotik, machine Learning:

- supervised Learning versucht auf Datenpaare $(x, y) \equiv (x, q)$
 ↳ Problem: Datenraum sinnvoll abzudecken und nicht in irgendwelchen Unterräumen stecken zu bleiben.

- Annahme unkorrelierter Daten

↳ Robotertrajektorien sind hochkorreliert

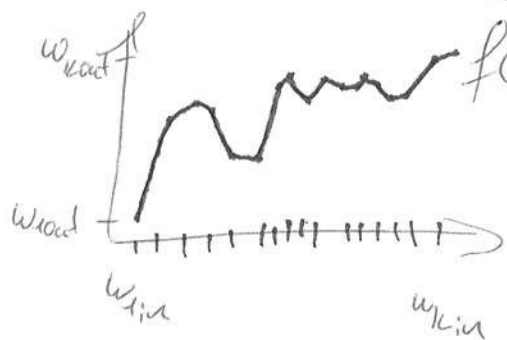
- ~~Batch~~ Batch-Lernen vs. Online-Lernen

Online-Lernen ist häufig mit destruktiver Interferenz verbunden (man vergisst bereits Gelerntes)

⇒ Online fähige inkrementelle Lernverfahren, die mit korrelierten Daten klar kommen.
 ↳ man braucht ein lokales Verfahren

Bsp: Local Linear Map (LLM)

Locally Weighted Projection Regression (LWPR)

Local Linear Map

- Menge von Knoten / Lokalen Modellen

• w_k^{in} - Prototyp im Eingaberaum

• w_k^{out} - Ausgabe an der Stelle w_k^{in}
 ($g(w_k^{in}) = w_k^{out}$)

• J_k - Jacobi-Matrix a.d.S. w_k^{in}

$$w_k = \exp\left(-\frac{\|x - w_k^{in}\|^2}{2\sigma^2}\right)$$

$$g(x) = \frac{1}{\sum_k w_k} \sum_k w_k \cdot \left(\sum_k k \cdot (x - w_k^{in}) + w_k^{out} \right)$$

inkrementelles Lernen:

initialisierung: $k=0$ (leere Knotenmenge)

- Datenbeispiel (x, y)
- Berechne w_k
- Füge neuen Knoten ein mit $w_k^{in} = x, w_k^{out} = y$ ein, versch
- Heuristiken für γ (z.B. $\gamma=0$) falls $\forall w_k < \epsilon \Leftrightarrow \|x - w_k^{in}\| > d$
- $d =$ Auflösung im Eingaberaum.
- Adaptation:

Gradientenabstieg auf Fehler $E_T = \|y_T - g(x_T)\|$

$$\Delta w_k^{in} = \mu_{in} \cdot w_k \cdot (x - w_k^{in}) \quad \forall k$$

$$\Delta w_k^{out} = \mu_{out} \cdot w_k' \cdot (y - g_k(x)) + \gamma_k \Delta w_k^{in}$$

$$\Delta \gamma_k = \mu_\gamma \cdot w_k' \cdot (y - g_k(x)) \cdot \frac{(x - w_k^{in})^T}{\|x - w_k^{in}\|^2}$$

$$\left(w_k' = \frac{w_k}{\sum w_k} \right)$$

$$g_k(x) = \gamma_k (x - w_k^{in}) + w_k^{out}$$

$$g(x) = \sum w_k' \cdot g_k(x)$$

BZ. Goal Babbling

naive zufällige Suche im Gelenkwinkelraum (q)
 exploriert nur einen Teil des Zustandsraum (x)

\Rightarrow Babbling im Zustandsraum effektiver auch weit
 hochdimensionaler.

Wähle zufällig ein Target x im Zustandsraum

Annahme: Vorwärtskinematik / Endeff.-position bekannt.

Erzeuge Zwischentargets x_t^* mittels linearer
 Interpolation von aktueller Position zu x -target

Annahme: \exists aktuelles Modell $g_t(q_t)$ für inv. Kinem.
 Für jedes Zwischentarget x_t^* im Zeitabritt t .

- genauere Gelenkwinkel: $q_t = \underbrace{g(x_t^*, \theta)}_{\text{modell}} + \underbrace{\eta}_{\text{Noise}}$

- bewerte die Bewegung:

$$w_t^{dir} = \frac{1}{2} (1 + \cos \angle \left(\underbrace{x_t^* - x_{t+1}^*}_{\text{gew. Richtung}}, \underbrace{x_t - x_{t+1}}_{\text{tats. Richtung}} \right)) \in [0, 1]$$

$$w_t^{eff} = \frac{\|x_t - x_{t+1}\|}{\|q_t - q_{t+1}\|} \quad \text{- Effizienz der Bewegung}$$

(Klein für Bewegung im Nullraum)

$$w_t = w_t^{dir} \cdot w_t^{eff} \rightarrow \text{zus. Gewichtung beim Training:}$$

$$\eta \cdot w_t \cdot w_t$$

- Random Walk führt wieder zum Abdriften vom typischen Arbeitsbereich

↳ fahre mit Wahrsch. $p=0$ nach erreichen von x_{target} in die Home Position (Interpoliert im Gelenkwinkel-Raum)

↳ Exploration priorisiert die Umgebung der Home-Postur

- "Strukturierter Noise": erzeuge langfristig zufällige aber kurzfristig zielgerichtete explorationsbewegung

$$x_{t+1}^* = A_t \cdot x_t^* + b_t^* \rightarrow \text{konstant variierende lin. Fkt.}$$

Komponenten (e_t^i) von A_t und b_t^* machen "normalisierten Gaußschen" Random Walk

$$e_t^i \sim \mathcal{N}(0, \sigma) \quad \delta_t^i = \mathcal{N}(0, \sigma_\Delta) \quad \sigma_\Delta \ll \sigma \ll 1$$

$$e_{t+1}^i = \frac{\sigma^2}{\sqrt{\sigma^2 + \sigma_\Delta^2}} (e_t^i + \delta_t^i) \sim \mathcal{N}(0, \sigma)$$

(durch Normalisierung)

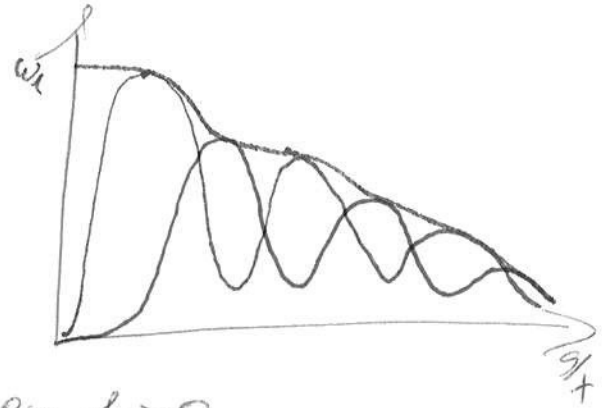
DMPs

$$T \cdot \ddot{v} = \underbrace{K(g-x)}_{\text{Feder}} - \underbrace{Dv}_{\text{Dämpfer}} + \underbrace{f(s)}_{\text{Ext. Kraft}}$$

$g = \text{goal}$
 $x = \text{pos}$
 $v = \text{geschw.}$
 $T = \text{Zeitkonst.}$

$$f(s) = \frac{\sum w_i \psi_i(s)}{\sum \psi_i(s)} \cdot S \cdot (g-x_0)$$

$$\psi_i(s) = \exp\left(-\frac{(s-c_i)^2}{\sigma_i^2}\right)$$



S - „Phase der Trajektorie zwischen $t \rightarrow 0$ “

$$T^0 S = -\alpha S \quad S_0 = 1$$